

## مطالعه برهم‌کنش کاتیون‌های سدیم و پتاسیم با دی-بنزو-۱۸-کرون - ۶ در مخلوط دوجزئی حلال‌های غیرآبی، با استفاده از هدایت‌سنجد

\* زهرا منصف خوش‌حساب

### چکیده

واکنش کاتیون‌های سدیم و پتاسیم با دی-بنزو-۱۸-کرون - ۶ در مخلوط دوجزئی حلال‌های دی‌متیل فرمامید (DMF) — استونیتریل (AN) و دی‌متیل فرمامید — تتراهیدروفوران (THF) در دماهای مختلف، به روش هدایت‌سنجد مورد بررسی قرار گرفت. استوکیومتری و ثابت‌های پایداری کمپلکس‌های ۱:۱ با استفاده از داده‌های هدایت مولاری محلول برحسب نسبت مولی لیگاند به کاتیون ([L/M]، تعیین شد. نتایج به دست آمده نشان می‌دهد که در تمام موارد، کمپلکس‌های تشکیل شده دارای استوکیومتری ۱:۱ می‌باشند و بین پایداری آنها و عدد دهنگی حلال یک نسبت معکوس وجود دارد.

همچنین، مقادیر پارامترهای ترمودینامیکی ( $\Delta G^\circ$  و  $\Delta H^\circ$ ,  $\Delta S^\circ$ ) واکنش از واستگی دما به ثابت تشکیل کمپلکس تعیین شد. در همه موارد، کمپلکس‌های مورد مطالعه از نظر آنتالپی، پایدار و از نظر انتروپی، ناپایدار هستند و مقادیر این پارامترها به طبیعت و ترکیب حلال بستگی دارد. تأثیر طبیعت و ترکیب حلال بر پایداری کمپلکس‌ها مورد بحث قرار گرفت.

### کلیدواژه

ثبت پایداری، اثر تاجی، پارامترهای ترمودینامیکی، کمپلکس، سدیم، پتاسیم، هدایت‌سنجد.

\* عضو هیئت علمی دانشگاه پیام نور، مرکز قزوین.

Archive of SID

(Burger, 1983; Mei at.al. 1977: 1677; Loyola, 1977: 321; Monsef at.al. 2001: 321; Nezhadali at.al. 2000: 29; Ghasemi & Shamsipur, 1996: 923; Alizadeh & Shamsipur, 1996: 1029) .

تأثیر حلال بر واکنش‌های تشکیل کمپلکس، اغلب ناشی از قابلیت الکترون‌دهندگی و ثابت دی‌الکتریک حلال است. هرچه عدد دهنگی حلال بیشتر باشد توانایی آن برای حلال‌پوشی کاتیون و حتی لیگاند، بیشتر شده، بنابراین تشکیل کمپلکس دشوارتر می‌شود. میزان برهم‌کنش‌های الکترواستاتیکی بین کاتیون و آنیون و بنابراین تشکیل جفت‌های یونی، تحت تأثیر ثابت دی‌الکتریک قرار می‌گیرد. در حلال‌های با ثابت دی‌الکتریک پایین، به علت افزایش بر هم‌کنش‌های الکترواستاتیکی بین یون‌ها، امکان تشکیل جفت‌های یونی افزایش می‌یابد که این پدیده تشکیل کمپلکس را مشکل می‌نماید (Strasser at.al. 1985: 789).

در این مطالعه، واکنش کاتیون‌های سدیم و پتاسیم با کرون اتر دی-بنزو-۱۸-کرون-۶ (DB18C6) در حلال‌های خالص دی‌متیل فرمامید(DMF)، استونیتریل (AN)، تراهیدروفوران (THF) و مخلوط‌های دوجزیی آنها در دماهای ۱۵، ۲۵، ۳۵، ۴۵ و ۵۵ درجه سانتی‌گراد، به روش هدایت‌ستجی مورد بررسی قرار گرفت.

هدف از این مطالعه بررسی اثرات مربوط به تغییر خصوصیات حلال‌ها در نتیجه اختلاط با یکدیگر، بر استوکیومتری و جنبه‌های ترمودینامیکی واکنش تشکیل کمپلکس می‌باشد. به این دلیل، حلال‌هایی با ثابت دی‌الکتریک و عدد دهنگی متفاوت انتخاب شدند. با توجه به عدد دهنگی(DN) و ثابت دی‌الکتریک (ع) حلال‌های دی‌متیل فرمامید ( $DN = 36$  و  $Un = 4$ )، تراهیدروفوران ( $DN = 7/3$  و  $Un = 4$ ) و استونیتریل ( $DN = 14/1$  و  $Un = 38$ )، مخلوط دوجزیی حلال‌های دی‌متیل فرمامید - تراهیدروفوران و دی‌متیل

## مقدمه

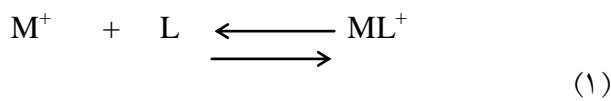
کرون‌ها به ترکیبات درشت حلقوی که حلقة آنها شامل اتم‌هایی مانند اکسیژن، نیتروژن و یا گوگرد بوده و این اتم‌ها توسط گروه‌های متیلن (اغلب دو گروه متیلن،  $-CH_2-CH_2-$ ) از هم فاصله دارند، اطلاق می‌شود. اولین کرون اثر توسط پدرسن (Pedersen) در سال ۱۹۶۷ تهیه شد. او متوجه توانایی این ترکیبات برای تشکیل کمپلکس‌های پایدار با کاتیون‌های مختلف گردید. پس از آن، مقالات اصلی و مروری بسیار زیادی به این ترکیبات اختصاص یافت (Izatt at.al. 1975; Izatt, 1985, 1991: 271, 1721).

مهم‌ترین ویژگی کرون‌اترها، قابلیت تشکیل کمپلکس‌های انتخابی و پایدار با اغلب کاتیون‌ها، بهویژه کاتیون‌های قلیایی و قلیایی خاکی است (& Tawarah Mizyd, 1989: 387). اتم‌های اکسیژن حلقة کرون اتر، به عنوان عوامل دهنده الکترون عمل نموده، بر اثر کرون اتر با کاتیون، کمپلکس کرون - کاتیون تشکیل می‌شود.

پایداری بسیار زیادتر کمپلکس‌های تشکیل شده بین این لیگاندها با کاتیون‌های مختلف، نسبت به کمپلکس‌های حاصل از لیگاندهای زنجیری مشابه (اثر درشت حلقوی) و همچنین قابلیت تشکیل کمپلکس‌های بسیار پایدار با کاتیون‌های قلیایی و قلیایی خاکی، باعث شده است که بخش وسیعی از تحقیقات مربوط به کرون‌ها به بررسی جنبه‌های سینیتیکی و ترمودینامیکی واکنش‌های کمپلکس شدن آنها با کاتیون‌های مختلف اختصاص یابد (& Cabbication Margerum, 1970: 2151; Chen at.al. 1987: 117; Mei at.al. 1977: 771). مطالعات مربوط به تشکیل کمپلکس کرون اترها در حلال‌های آلی و آبی نشان می‌دهد که ترمودینامیک و سینیتیک این واکنش‌ها، به شدت تحت تأثیر نوع و ترکیب حلال قرار می‌گیرد

$\times 10^{-4}$  مولار، و از کرون اتر با غلظت  $5/00 \times 10^{-3}$  مولار تهیه شد. سپس ۳۰ میلی لیتر از محلول نمک مورد نظر به ظرف تیتراسیون منتقل شده، پس از افزایش مرحله‌ای محلول لیگاند، به محلول کاتیون توسط یک میکروبورت و برقراری تعادل، هدایت محلول در هر مرحله ثبت شد. در کلیه موارد افزایش محلول لیگاند به کاتیون در طول تیتراسیون، حداقل تا نسبت مولی (L/M) ۵ ادامه یافت.

واکنش بین کاتیون فلزی ( $M^+$ ) و کرون اتر (L) برای تشکیل کمپلکس ۱: ۱ را می‌توان با معادله



$\alpha [M]_t / [L]_t = (1 - \alpha)[M]_t / (1 - \alpha)[M]_t$  نشان داد. ثابت تعادل ترمودینامیکی کمپلکس،  $k_f$  عبارت است از:

$$K_f = \frac{[ML^+]}{[M^+][L]} \cdot \frac{f_{ML^+}}{f_{M^+} \cdot f_L} \quad (2)$$

که  $[M]$ ،  $[L]$  و  $[ML^+]$  به ترتیب غلظت‌های مولی کاتیون آزاد، لیگاند و کمپلکس در حال تعادل می‌باشند.  $f$  نشان‌دهنده ضریب فعالیت گونه‌های مربوطه و  $\alpha$  کسر مولی کاتیون کمپلکس نشده است.

به علت استفاده از غلظت‌های کم (۰/۰۳ مولار) لیگاند، ضریب فعالیت کرون اتر بدون بار ( $f_L$ ) واحد فرض می‌شود. همچنین، براساس قانون حد دبای - هوکل برای الکتروولیت‌های ۱:۱ و غلظت‌های پایین الکتروولیت‌ها، می‌توان ضرایب فعالیت گونه‌های الکتروولیت‌ها، می‌توان ضرایب فعالیت گونه‌های

(Pedersen, 1967: 2495). در نتیجه:

$$K_f = \frac{[ML^+]}{[M^+][L]} = \frac{(1 - \alpha)}{\alpha[L]} \quad (3)$$

فرمامید - استونیتریل، به ترتیب برای مطالعه اثرات ناشی از اختلاط حلال‌های با ثابت دی‌الکتریک و عدد دهنگی مختلف، انتخاب شده‌اند (Yaws, 1999). در مورد حلال‌های دی‌متیل فرمامید و تراهیدروفوران اختلاف ثابت دی‌الکتریک، و در مورد حلال‌های دی‌متیل فرمامید و استونیتریل، تفاوت عدد دهنگی محسوس است.

## مواد و روش‌ها

مواد مورد استفاده: نمک‌های سدیم پرکلرات و پتاسیم پرکلرات (Merck) پس از سه بار تبلور با آب دوبار تقطیر شده، خالص‌سازی شدند. کرون اتر (DB18C6) پس از خالص‌سازی با حلال بنزن، مورد استفاده قرار گرفت.

حالات مورد استفاده: کلیه حلال‌های مورد نیاز، شامل دی‌متیل فرمامید (DMF)، استونیتریل (AN)، تراهیدروفوران (THF) و بنزن از شرکت مِرک (Merck) بوده‌اند که به دلیل درصد خلوص بسیار بالا بدون هیچ‌گونه خالص‌سازی استفاده شدند.

دستگاه‌ها و لوازم مورد استفاده: اندازه‌گیری هدایت محلول‌ها با استفاده از یک دستگاه هدایت‌سنج AMEL مدل ۶۰ دیجیتالی با دقیق  $0.1 \mu S / 0.079 \text{ cm}^{-1}$  انجام شد. برای حفظ هدایت‌سنج با ثابت سل  $0.079 \text{ cm}^{-1}$  از یک سل دوجداره دمای محلول در طول آزمایش‌ها، از یک سل ترموسیر کولاتور آب با قدرت ثیثیت دما با دقیق  $0.03^\circ\text{C}$  درجه سانتی‌گراد استفاده گردید.

روش اجرای آزمایش‌ها: به منظور بررسی واکنش تشکیل کمپلکس بین کاتیون‌های سدیم و پتاسیم با لیگاند دی‌بنزو-۱۸-کرون-۶، محلولی از نمک سدیم پرکلرات (یا پتاسیم پرکلرات بر حسب مورد) با غلظت

(Taked at.al. 1980: 721)

مقدار  $\Delta H^\circ$ ,  $\Delta S^\circ$  واکنش، به ترتیب از روی شیب و عرض از مبدأ نمودار  $\ln k_f$  در مقابل  $1/T$  بر طبق معادله وانتهوف:

$$\ln k_f = -\Delta H^\circ / RT + \Delta S^\circ / R \quad (10)$$

تعیین شد. مقدار  $\Delta G^\circ$  واکنش با استفاده از معادله  $\ln k_f = -\Delta G^\circ / RT$  محاسبه گردید.

### مشاهدات و نتایج

واکنش تشکیل کمپلکس بین لیگاند DB18C6 با کاتیون‌های سدیم و پتاسیم، در محلول دوجزئی حلال‌های استونیتریل - دی‌متیل فرمامید (DMF/AN) و استونیتریل - تراهیدروفوران (MF/THF) در دماهای ۱۵، ۲۵، ۳۵ و ۴۵ درجه سانتی‌گراد، به روش هدایت‌سنجدی مورد بررسی قرار گرفت. نتایج به دست آمده نشان می‌دهد که محلول‌هایی با غلظت مشخص از نمک سدیم پرکلرات و یا پتاسیم پرکلرات (در غیاب لیگاند،  $[L]/[M] = 0$ )، در حلال‌های مختلف، دارای هدایت مولاری متفاوت می‌باشند. هدایت مولاری محلول به عنوان معیاری از تحرک یونی، منعکس‌کننده میزان حلال‌پوشی یون‌ها در حلال‌های مختلف است که به قابلیت حلال‌پوشی حلال بستگی دارد. بنابراین، اختلاف هدایت مولاری مشاهده شده در حلال‌های مختلف به ثابت دی‌کتریک، گرانروی، قابلیت دهنده (عدد دهنده) و سایر خصوصیات حلال مربوط می‌باشد (Gutmann, 1968).

بررسی نمودار تغییرات هدایت مولی محلول بر حسب نسبت مولی لیگاند به کاتیون، در هر یک از حلال‌های مورد مطالعه، در دماهای مختلف نشان می‌دهد که در همه موارد، افزایش دما باعث کاهش شیب نمودار مربوطه شده است. از این رفتار نتیجه گرفته می‌شود که

هدایت ویرژه محلول (K) در هر نقطه از تیتراسیون عبارت است از:

$$K = K_{(MX)} + K_{(MLX)} \quad (4)$$

X آنیون همراه کاتیون،  $K_{(MX)}$  و  $K_{(MLX)}$  به ترتیب نمک فلزی و نمک کمپلکس می‌باشند. هدایت مولی این گونه‌ها را می‌توان به صورت زیر بیان نمود:

$$\Lambda_{MLX} = \frac{K_{(MLX)}}{[ML^+]} = \frac{K_{(MLX)}}{(1-\alpha)[M]_t} \quad (5)$$

$$\Lambda_{MX} = \frac{K_{(MX)}}{[M^+]} = \frac{K_{(MX)}}{\alpha[M]_t} \quad (6)$$

با ادغام معادلات (5) و (6) در معادله (4) معادله زیر به دست می‌آید:

$$\Lambda = \frac{K}{[M]_t} = \alpha \Lambda_{MX} + (1-\alpha) \Lambda_{MLX} \quad (7)$$

که  $\Lambda$  هدایت مولی محلول است. با جایگزینی معادله 7 در معادله 3، خواهیم داشت:

$$[L] = [L]_t - \frac{[M]_t (\Lambda_{MX} - \Lambda)}{(\Lambda_{MX} - \Lambda_{MLX})} \quad (8)$$

که در آن  $[L]$  به صورت زیر بیان می‌گردد:

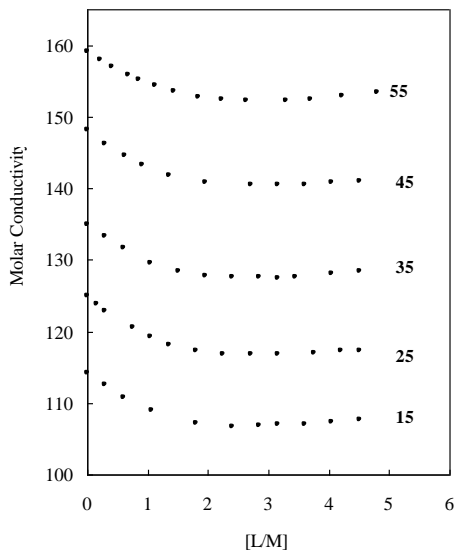
$$K_f = \frac{\Lambda_{MX} - \Lambda}{(\Lambda - \Lambda_{MLX})[L]} \quad (9)$$

برای تعیین ثابت پایداری کمپلکس، مقدار  $\Lambda$  (هدایت مولی محلول در هر نقطه از تیتراسیون) و  $\Lambda_{MX}$  (هدایت مولی محلول در غیاب لیگاند)، با اندازه‌گیری هدایت محلول تعیین گردیده، مقدار  $\Lambda_{MLX}$  (هدایت مولی کمپلکس) از هدایت مولی محلول در نسبت‌های مولی بالا ( $[L] / [M]$ ) از روی منحنی تیتراسیون تخمین زده شد. سپس با برآوردهای هدایت مولی در معادله 8، با استفاده از نرم‌افزار Genplot، ثابت پایداری کمپلکس تعیین شد

کسر مولی در حلّال دوجزئی AN/DMF (شکل ۲) نشان می‌دهد که با افزایش لیگاند به محلول کاتیون (در مورد هر دو کاتیون)، ابتدا هدایت مولی محلول تا نسبت مولی یک با شب تند کاهش می‌یابد، سپس یا تقریباً ثابت شده، یا تا نسبت‌های مولی بالاتر با شب ملایم تغییر می‌کند. این رفتار تشکیل کمپلکس‌های ۱:۱ بین لیگاند و کاتیون را در مورد هر دو کاتیون نشان می‌دهد.

واکنش تشکیل کمپلکس بین لیگاند DB18C6 با کاتیون‌های سدیم و پتاسیم در همه حلّال‌های مورد مطالعه، یک واکنش گرمایی است. به عنوان مثال، نمودار مربوط به کاتیون پتاسیم در حلّال دوجزئی AN/DMF (۶۰% AN =  $\text{AN/DMF}$ ) در شکل ۱ نمایش داده شده است. رفتار مشابه در سایر سیستم‌ها نیز مشاهده گردیده است.

همچنین، بررسی نمودارهای هدایت مولی بر حسب



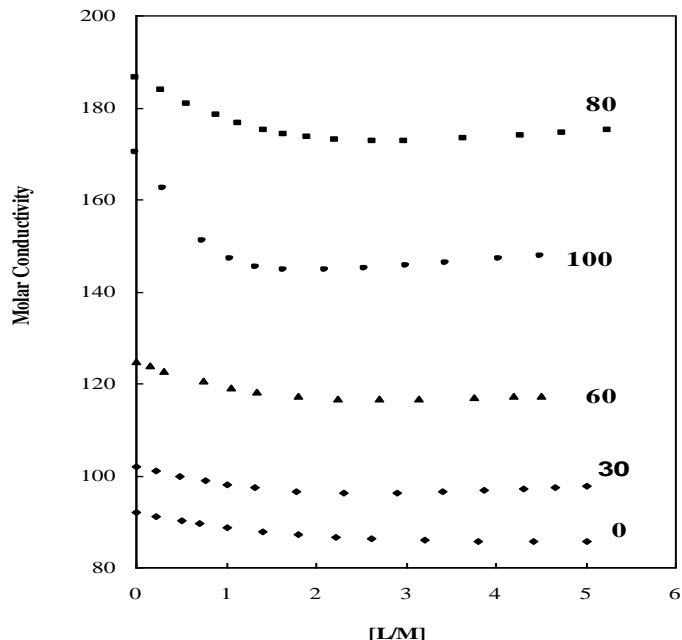
شکل ۱. نمودار هدایت مولی محلول در مقابل نسبت مولی لیگاند به کاتیون برای کمپلکس  $\text{K}^+ \text{-DB18C6}$  در سیستم دو جزئی  $\text{AN/DMF}$  (۶۰% AN =  $\text{AN/DMF}$ ) در دماهای مختلف (اعداد روی نمودارها نشان‌دهنده دمای واکنش است).

در مورد کمپلکس‌های ضعیفتر، هدایت مولی در نسبت‌های مولی بالاتری به حداقل می‌رسد، در نتیجه شب نمودار ملایم‌تر می‌شود. بنابراین، با مقایسه نمودارهای مربوطه می‌توان ترتیب پایداری کمپلکس‌های تشکیل شده را در سیستم‌های مورد مطالعه تعیین نمود. همان‌گونه که در شکل‌های ۲ و ۳

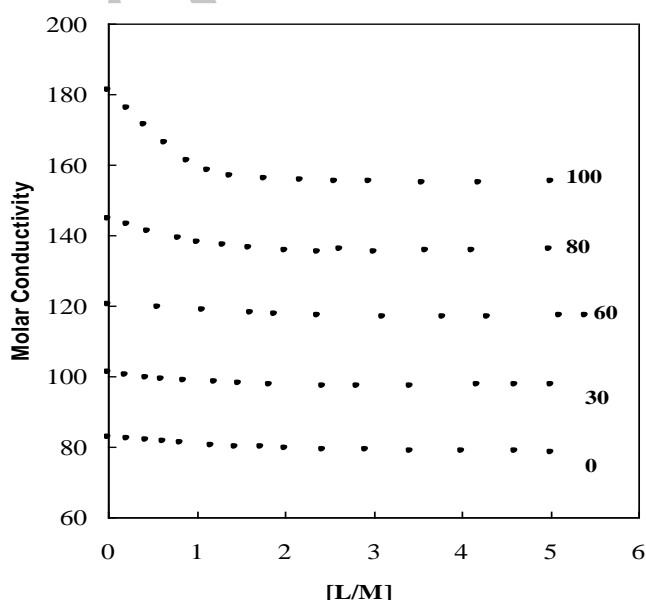
شب منحنی تغییرات هدایت مولی محلول بر حسب نسبت مولی لیگاند به کاتیون را می‌توان به عنوان معیاری از پایداری کمپلکس‌های تشکیل شده دانست. در کمپلکس‌های قوی، رسیدن به نقطه مینیمم، با شب تندتری رخ می‌دهد؛ زیرا تشکیل کمپلکس در کسر مولی پایین‌تری از لیگاند به کاتیون، کامل می‌شود، ولی

می‌یابد. از این رفتار، می‌توان افزایش پایداری کمپلکس‌های تشکیل شده را بر اثر افزایش درصد مولی استونیتریل در مخلوط‌های دوجزئی فوچ نتیجه گرفت.

مشاهده می‌شود، در حلال دوجزئی AN/DMF، با افزایش درصد مولی استونیتریل در مخلوط‌های دوجزئی، شب نمودار هدایت مولی در مقابل نسبت مولی لیگاند به کاتیون (در مورد هر دو کاتیون) افزایش



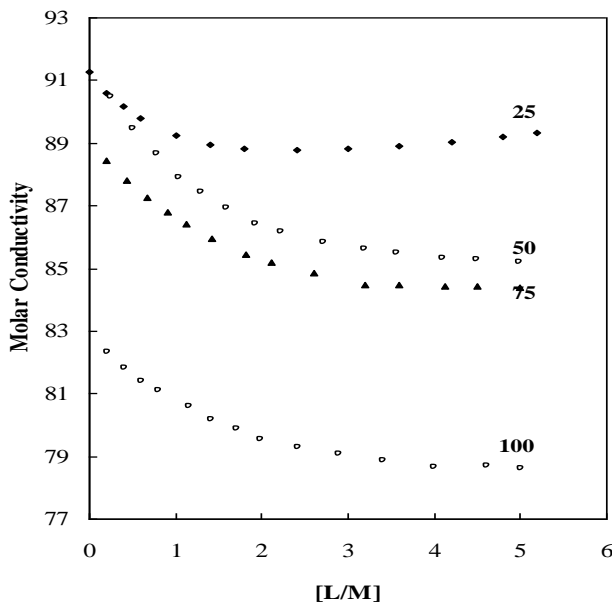
شکل ۲. نمودار هدایت مولی محلول در مقابل نسبت مولی لیگاند به کاتیون برای کمپلکس  $\text{K}^+ \text{-DB18C6}$  در سیستم دوجزئی AN/DMF در دمای  $25^\circ\text{C}$  (اعداد روی نمودارها درصد مولی استونیتریل را در مخلوط نشان می‌دهد).



شکل ۳. نمودار هدایت مولی محلول در مقابل نسبت مولی لیگاند به کاتیون برای کمپلکس  $\text{Na}^+ \text{-DB18C6}$  در سیستم دوجزئی AN/DMF در دمای  $25^\circ\text{C}$  (اعداد روی نمودارها درصد مولی استونیتریل را در مخلوط نشان می‌دهد).

رفتاری حاکی از کاهش پایداری کمپلکس تشکیل شده بر اثر افزایش درصد مولی دی متیل فرمامید در این سیستم دوجزئی است.

علاوه بر این، بررسی نمودارهای به دست آمده در سیستم دوجزئی DMF/THF (شکل ۴) نشان می دهد که با افزایش درصد مولی دی متیل فرمامید در مخلوط، شب نمودارهای هدایت مولی کاهش می یابد. چنین



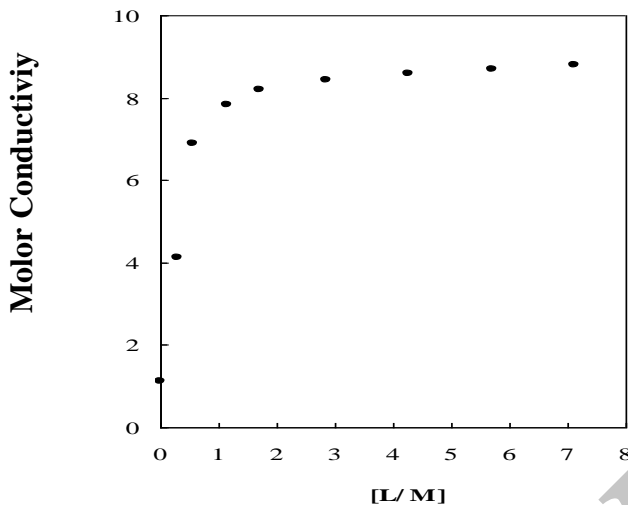
شکل ۴. نمودار هدایت مولی محلول در مقابل نسبت مولی لیگاند به کاتیون برای کمپلکس  $\text{Na}^+$ -DB18C6 در سیستم دوجزئی  $25^\circ\text{C}$  در دمای  $25^\circ\text{C}$  با درصدهای مولی مختلف (اعداد روی نمودار درصد مولی DMF را در مخلوط نشان می دهد).

نتیجه گیری با داده های مندرج در جدول ۱ به خوبی تأیید می شود.

در شکل ۵ نمودار تغییرات هدایت مولی برای واکنش کاتیون سدیم با لیگاند DB18C6 در حلال THF نمایش داده شده است. همان گونه که در این نمودار مشخص است، بر اثر افزایش لیگاند به کاتیون، هدایت محلول ابتدا با شبیه بسیار تندر افزایش یافته است که این افزایش تا نسبت مولی ۱ ادامه دارد. سپس تغییرات هدایت بسیار کم شده که چنین روندی مؤید تشکیل یک کمپلکس با استوکیومتری ۱:۱ در این حلال است.

یادآوری این نکته ضروری است که به دلیل افزایش هدایت مولاری محلول بر اثر افزایش لیگاند در نسبت های مولاری بالاتر از ۱ - که در بسیاری از سیستم های مورد مطالعه، مشاهده شده است - امکان برآذش داده های هدایت سنجی در معادلات مربوطه وجود نداشت، در نتیجه، امکان تعیین ثابت های پایداری کمپلکس ها در این سیستم ها میسر نگردید.

داده های به دست آمده در سیستم دوجزئی DMF/THF، کاهش پایداری کمپلکس ها را بر اثر افزایش دما نشان می دهد. این رفتار، حاکی از وقوع یک واکنش گرمایی در این سیستم دوجزئی است. این



شکل ۵. نمودار هدایت مولی محلول در مقابل نسبت مولی لیگاند به کاتیون برای کمپلکس  $\text{Na}^+$ -DB18C6 در حلّال THF در دمای ۲۵°C.

پرکلرات از حدود ۷۹ الی ۹۱ در مخلوط‌های دوجزئی THF به مقدار ۱ الی ۹ در حلّال خالص DMF/THF کاهش یافته است. با توجه به ثابت دی‌الکتریک پایین حلّال THF ( $\epsilon = 7/3$ ) چنین اثری دور از انتظار نیست (Strasser et.al. 1985: 789).

مقایسه داده‌های هدایت مولی محلول در حلّال THF (شکل ۵) با داده‌های مربوطه در سیستم دوجزئی DMF/THF (شکل ۴) حاکی از کاهش شدید هدایت مولی محلول نمک در این حلّال، در مقایسه با سایر حلّال‌های مورد استفاده است. همان‌گونه که در این نمودارها مشخص است، هدایت مولی محلول سدیم

جدول ۱. مقادیر  $\log K_f$  کمپلکس  $\text{Na}^+$ -DB18C6 در سیستم دوجزئی DMF/THF با درصدهای مولی متفاوت در دماهای مختلف.

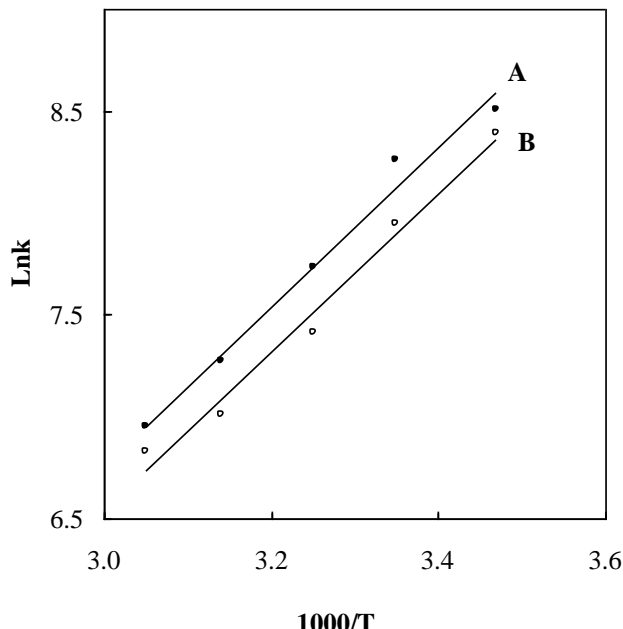
Log $K_f$					حلّال
۵۵/۰ °C	۴۵/۰ °C	۳۵/۰ °C	۲۵/۰ °C	۱۵/۰ °C	
۲/۹۰ ± ۰/۷۰	۳/۰۵ ± ۰/۰۷	۳/۲۲ ± ۰/۰۳	۳/۴۶ ± ۰/۰۳	۳/۶۵ ± ۰/۰۵	%۷۵ DMF
۳/۰۲ ± ۰/۰۱	۳/۱۶ ± ۰/۰۳	۳/۳۶ ± ۰/۰۳	۳/۵۹ ± ۰/۰۱	۳/۷۰ ± ۰/۰۱	%۵۰ DMF

جدول ۲. مقادیر  $-\Delta H^\circ$ ,  $-\Delta G^\circ$  و  $-\Delta S^\circ$  برای واکنش تشکیل کمپلکس  $\text{Na}^+$ -DB18C6 در سیستم دوجزئی DMF/THF با درصدهای مولی مختلف.

$-\Delta S^\circ$ (cal. $\text{mol}^{-1}$ .K $^{-1}$ )	$-\Delta H^\circ$ (Kcal. $\text{mol}^{-1}$ )	$-\Delta G^\circ$ (۲۵ °C) (Kcal. $\text{mol}^{-1}$ )	حلّال
۱۰/۰۴ ± ۱/۶۰	۷/۶۸ ± ۰/۴۹	۴/۷۱ ± ۰/۳۴	%۷۵ DMF
۹/۸۰ ± ۱/۴۹	۷/۷۶ ± ۰/۴۶	۴/۹۰ ± ۰/۱۱	%۵۰ DMF

نشان می دهد که مقادیر  $\Delta H^0$  و  $\Delta S^0$  در همه موارد منفی است، بنابراین کمپلکس تشکیل شده در هر دو سیستم از نظر آنتالپی پایدار، و از نظر انتروپی، ناپایدار است.

نمودارهای وانتهوف مربوط به واکنش تشکیل کمپلکس  $\text{Na}^+-\text{DB18C6}$  در شکل ۶ نمایش داده شده است. مقادیر  $\Delta H^0$  و  $\Delta S^0$  به دست آمده از این نمودار در جدول ۲ ارائه شده است. داده های موجود



شکل ۶. نمودارهای وانتهوف برای کمپلکس  $\text{Na}^+-\text{DB18C6}$  در سیستم دوجزئی AN/DMF، نمودار A: مخلوط دوجزئی دارای ۵۰٪ DMF، نمودار B: مخلوط دوجزئی دارای ۷۵٪ DMF

توسط عدد دهنگی (DN) گوتنم آنها بیان می شود، توضیح داد (Chantooni & Koltho, 1985: ۱). حلال DMF با عدد دهنگی بالاتر (DN=۲۴) در مقایسه با حلال AN با عدد دهنگی کمتر (DN = ۱۴)، قابلیت حلال پوشی بیشتری داشته، در نتیجه به هنگام تشکیل کمپلکس، حلال زدایی کاتیون توسط لیگاند در حلال DMF نسبت به حلال AN مشکل تر و برهمکنش کاتیون - لیگاند ضعیفتر می شود. نتیجه این اثرات، کاهش پایداری کمپلکس ها با افزایش عدد دهنگی حلال است (Monsef et.al. 2002: 231; Cox at.al. 1982: 4986). به همین دلیل، می رسد که کاهش پایداری کمپلکس ها با افزایش درصد مولی DMF در مخلوط های DMF/THF نیز به واسطه

## بحث

کاهش شیب نمودارهای هدایت مولی در اثر افزایش درصد مولی DMF در هر یک از سیستم های دوجزئی AN/DMF و یا DMF/THF (شکل های ۳ و ۴) و مشاهده نمودارهای مربوطه با بیشترین شیب در حلال AN و با کمترین شیب در حلال DMF پایداری بیشتر کمپلکس های تشکیل شده را در حلال AN نسبت به کمپلکس های مربوطه در حلال DMF نشان می دهد. از این رفتار می توان نتیجه گرفت که افزایش درصد مولی DMF در سیستم های دوجزئی AN/DMF و یا DMF/THF باعث کاهش پایداری کمپلکس می گردد. چنین اثر حلالی را می توان با توجه به میزان قابلیت الکترون دهنگی حلال ها که

نسبت به کمپلکس  $\text{Na}^+ \text{-DB18C6}$  مطرح می‌کند. پایداری زیادتر کمپلکس  $\text{k}^+ \text{-DB18C6}$  نسبت به کمپلکس  $\text{Na}^+ \text{-DB18C6}$  در حلّال‌های یکسان، به دلیل تناسب اندازه کاتیون به اندازه حفره لیگاند است (Lamb et.al. 1980: 475). کاتیون پتانسیم با اندازه قطر  $1/38$  انگسترم در مقایسه با کاتیون سدیم با اندازه قطر  $1/40$  انگسترم شرایط مناسب‌تری برای جای‌گیری در حفره لیگاند DB18C6 با اندازه قطر  $1/34-1/43$  انگسترم دارد (Shanon, 1976: 751; Lehn, 1973: 1).

#### منابع:

- Alizadeh.N. and M. Shamsipur** (1996), *J.Solution Chem.*, 25;
- Burger, K.** (1983), *Ionic and Complex Formation Reactions in Non-Aqueous Solvents*, Akademia Kiado, Budapest;
- Cabbication, D.K. and D.W. Margerum** (1970), *J.Am.Chem.Soc.*, 92;
- Chantooni, Jr.M.K. and M.I.Koltho** (1985), *J.Solution Chem.*, 14;
- Chen,L. at.aL.** (1987), *Anal.. Chim.Acta.*, 201;
- Cox, B.G. at. aL.** (1982), *J.Phys.Chem.*, 86;
- Ghasemi.J. and M. Shamsipur** (1996), *Polyhydron*, 15;
- Gutmann, V.** (1968), *Coordination Chemistry in Non Aqueous Solutions*, Springer, New York;
- Izatt, R.M.** (1975), *Coordination Chemistry of Macrocyclic Compounds*, G.A. Nelson, G.A., Ed. Plenum press, New York;
- Izatt, at. al** (1985), *Chem.Rev.*, 85;
- \_\_\_\_\_ (1991), *Chem. Rev.*, 91;

قدرت حلّال‌پوشی بیشتر DMF نسبت به THF ( $\text{DN}=20$ ) باشد.

نکته قابل توجه آنکه با ملاحظه نمودار تغییرات هدایت مولی محلول در حلّال THF (شکل ۵) و مقایسه آن با نتایج به دست آمده در سایر سیستم‌های دوچرخه مورد مطالعه، مشخص می‌شود که برخلاف سایر حلّال‌های مورد استفاده، افزایش لیگاند به کاتیون در حلّال خالص THF، باعث افزایش هدایت محلول شده است. علاوه بر این، مقدار هدایت مولی محلول سدیم پرکلرات در حلّال خالص THF، در مقایسه با سایر حلّال‌ها بسیار پایین است. چنین رفتاری احتمالاً به دلیل تشکیل جفت‌های یونی در حلّال THF (که دارای ثابت دی‌الکتریک پایین است) می‌باشد. در حلّال‌های با ثابت دی‌الکتریک پایین، به علت افزایش برهمکنش‌های الکترواستاتیکی بین گونه‌های باردار، جفت‌های یونی تشکیل می‌شود و در نتیجه هدایت محلول کاهش می‌یابد (Strasser at.aL. 1985: 789).

بنابراین، با توجه به هدایت مولی بسیار کم نمک سدیم پرکلرات از یک طرف، و افزایش هدایت محلول برادر افزایش لیگاند به کاتیون از طرف دیگر (که در حلّال مشاهده شده است)، چنین استنباط می‌شود که نمک سدیم پرکلرات در این حلّال ابتدا به صورت جفت یون  $\text{Na}^+ \text{-ClO}_4^-$  حضور دارد، سپس بر اثر افزایش لیگاند به کاتیون، جفت یون فوق شکسته شده و در اثر تشکیل کمپلکس باردار  $\text{Na}^+ \text{-DB18C6}$  هدایت محلول افزایش می‌یابد. رفتار مشابهی برای کمپلکس شدن  $\text{Na}^+$  با  $18\text{C}6$  گزارش شد (Ibid). سرانجام، مقایسه شب نمودارهای مربوط به کاتیون سدیم با نمودارهای مربوط به کاتیون پتانسیم در شرایط یکسان، نشان می‌دهد که در همه موارد، تغییرات هدایت مولی برای کاتیون پتانسیم با شب تندتری رخ داده است که این رفتار، پایداری بیشتر کمپلکس  $\text{k}^+ \text{-DB18C6}$  را

- Lamb, J.D. at. aL.** (1980), *J.Am.Chem.Soc.*, 102;
- Lehn, J.M.** (1973), *Struct.Bonding*, 16:1 Berlin;
- Loyola,V.M.** at.al (1977), *J.Am.Chem.Soc.*, 99;
- Mei. E. at. aL.** (1977), *J. Solution Chem.*, 69;
- (1977), *J. Phy .Chem.*, 81;
- Monsef, Z. at.aL.** (2001), *J. KInclusion Phenomen.*, 39;
- (2002), *J. Inclusion Phenome.*, 43;
- Nezhadali.A. at. aL.** (2000), *Bull Korean. Chem. Soc.*, 21;
- Pedersen,C.J.** (1976), *J.Am.Chem. Soc.*, 89;
- Shanon, R.D.** (1976), *Acta. Crystallogr. Sect. A*, 32;
- Strasser.B.O. at. aL.** (1985), *J.Am.Chem.Soc.*,107;
- Takeda.Y. at.aL.** (1980), *Bull.Chem.Soc.Jpn.*, 53;
- Tawarah, K. M. and S. A. Mizyed.** (1989), *J.Solution Chem.*, 4;
- Yaws, C.** (1999), *Chemical Properties Handbook*, McGraw Hill.■